

تأثیر ناهمسانی مکانیکی و ناهمگونی پارامترهای مقاومت بر شی خاکها بر ظرفیت باربری دراز مدت پیهای سطحی

رضا جمشیدی چناری* و علی ماهی گیر

گروه عمران، دانشکده فنی مهندسی، دانشگاه گیلان

(دریافت مقاله: ۱۳۹۳/۰۴/۱۶ - دریافت نسخه نهایی: ۱۳۹۵/۰۳/۱۹)

DOI: 10.18869/acadpub.jcme.36.1.149

چکیده - فرایند تشکیل خاک‌های جسبنده باعث شکل‌گیری ناهمسانی و ناهمگونی در پارامترهای مقاومتی و سختی آنها می‌شود. اغلب خاک‌ها در حالت طبیعی هم ناهمسانی نسبت به مقاومت برشی و هم ناهمگونی نسبت به عمق از خود نشان می‌دهند. در این مقاله برای درنظر گرفتن اثر ناهمسانی چسبنده‌گی خاک مدل استاندارد موهر - کلمب به حالت ناهمسان تعیین داده شده است. از این‌رو با استفاده از تئوری حوزه تصادفی در ترکیب با روش تفاضل محدود و در چارچوب شبیه‌سازی‌های مونت‌کارلو و با درنظر گرفتن اثر خود همبستگی و همبستگی متقابل بین پارامترهای مقاومتی خاک، ظرفیت باربری پیهای سطحی در فضای کاتورهای محاسبه شده و مشاهده شد که ظرفیت باربری پیهای سطحی با افزایش تغییرپذیری پارامترهای مقاومتی کاهش و با افزایش نسبت‌های ناهمسانی افزایش می‌یابد.

واژه‌های کلیدی: ناهمسانی مکانیکی، ناهمسانی ناهمگونی، ظرفیت باربری، پیهای سطحی، تغییرپذیری فضایی.

The Effect of Mechanical Anisotropy and Heterogeneity of Shear Strength Parameters of Soils on Drained Bearing Capacity of Shallow Foundations

R. Jamshidi Chenari* and A. Mahigir

Department of Civil Engineering, Faculty of Engineering, University of Guilan, Guilan, Iran

Abstract: Natural formation of soil deposits causes heterogeneity and anisotropy in their strength and stiffness properties. However, most soils in their natural states exhibit some anisotropy with respect to shear strength and heterogeneity with respect to the depth. In this paper, the standard Mohr- Coulomb constitutive law is generalized to anisotropic version in order to consider the effect of cohesion anisotropy of soil. Random field theory coupled with finite difference method was utilized in Monte Carlo simulations with considering the effect of auto-correlation and cross correlation between strength parameters of soil, in order to calculate the bearing capacity of shallow foundation in a strain controlled scheme. The results showed that the bearing capacity of shallow foundation decreases with increasing in variability of strength parameters and increases with increasing in anisotropy ratio.

*: مسئول مکاتبات، پست الکترونیکی: Jamshidi_reza@guilan.ac.ir

Keywords: Mechanical anisotropy, Heterogeneity anisotropy, Bearing capacity, Shallow foundations, Spatial variability.

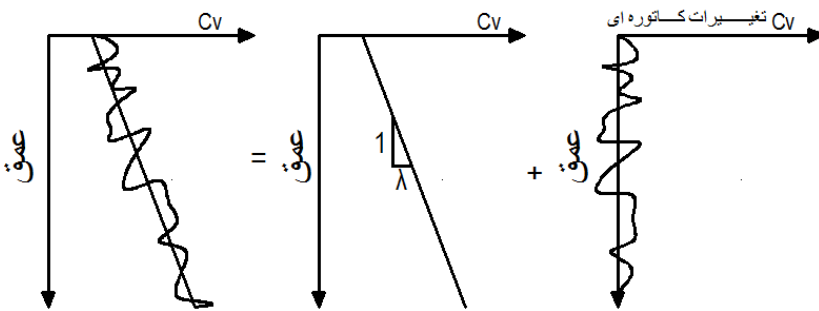
فهرست علائم

ماتریس پایین مثلثی حاصل از تجزیه چولسکی	LCC	درجه ناهمسانی ناهمگونی	A.FH
ظرفیت باربری بدون بعد	q'	نسبت ناهمسانی مکانیکی	A.FM
روند یقینی چسبندگی	t(z)	چسبندگی خاک در راستای افق	C _H
مولفه پسماند حول روند یقینی	w(z)	چسبندگی خاک در راستای قائم	C _V
مقیاس نوسان در جهت افق	θ _H	چسبندگی در جهت θ	C _θ
مقیاس نوسان در جهت قائم	θ _V	ضریب تغییرات	COV
چگالی مقاومت بر شی	λ	ضریب تغییرات چسبندگی قائم	COV _{CV}
میانگین لگاریتم چسبندگی	μ _{inc}	ضریب تغییرات ظرفیت باربری	COV _{q_{ult}}
میانگین ظرفیت باربری	μq _{ult}	مدول یانگ در صفحه تهشینی (صفحه افق)	E _H
ماتریس خود همبستگی	ρ _{AC}	مدول یانگ در جهت تهشینی (صفحه قائم)	E _V
ضریب همبستگی متقابل بین پارامترهای φ و c	ρ _{cφ}	ضریب پواسون متناظر با کرنش در صفحه افق در نتیجه تنش اعمالی در صفحه قائم	V _{VH}
انحراف معیار لگاریتم چسبندگی	σ _{inc}	ضریب پواسون متناظر با کرنش در صفحه قائم در نتیجه تنش اعمالی در صفحه افق	V _{HV}
زاویه اصطکاک داخلی خاک	ϕ	ضریب پواسون متناظر با کرنش در صفحه افق در نتیجه تنش اعمالی در همان صفحه	V _{HH}
زاویه اصطکاک بیشینه	ϕ _{max}	بردار حوزه تصادفی همبسته متقابل	G'
زاویه اصطکاک کمینه	ϕ _{min}	میدان تصادفی استاندارد نرمال	G'ϕ

موجود است [۱]. اکثر این تحقیقات نشانگر تأثیر قابل توجه ناهمسانی و ناهمگونی بر روی ظرفیت باربری پی‌های سطحی واقع بر رس هستند. با این وجود تلاش‌های کمی بر روی محاسبه تأثیر ناهمسانی و ناهمگونی بر ظرفیت باربری پی‌های سطحی واقع بر خاک‌های c-φ شده است. ردی و سرینتواسان [۲] تأثیر ناهمسانی و ناهمگونی خاک‌های c-φ را روی ظرفیت باربری پی‌های سطحی در حالت φ=۰ بررسی کردند. آنها در مطالعه خود از روش خطوط مشخصه برای به دست آوردن ظرفیت باربری پی‌های سطحی استفاده کردند.

۱- مقدمه

ظرفیت باربری پی‌های نواری مستقر بر خاک‌های همسان و همگون به صورت گسترده‌ای توسط محققین مختلف مورد بررسی قرار گرفته است. فرایند شکل‌گیری نهشته‌های طبیعی موجب شکل‌گیری ناهمسانی و ناهمگونی در خصوصیات مقاومتی و سختی آنها می‌شود که در طراحی‌های سنتی معمولاً نادیده گرفته می‌شود. مطالعاتی بر روی محاسبه ظرفیت باربری پی‌های سطحی مستقر بر رس‌های ناهمسان و ناهمگون در شرایط زهکشی نشده φ=۰ در ادبیات فنی



شکل ۱- تغییرات شماتیک چسبندگی خاک با عمق

۲- ناهمگونی ذاتی خاک

فرایند شکل‌گیری خاک‌ها موجب به وجود آمدن ناهمگونی ذاتی در خصوصیات خاک می‌شود. تغییرات فضایی چسبندگی خاک نسبت به عمق را می‌توان به دو قسمت روند یقینی^۲ $t(z)$ و مؤلفه پسمند حول روند یقینی $w(z)$ مطابق زیر تجزیه کرد:

$$C(z) = t(z) + w(z) \quad (1)$$

در این رابطه $C(z)$ چسبندگی خاک، $t(z)$ تابع روند که بیانگر میانگین متحرک چسبندگی خاک در هر نقطه است و $w(z)$ نشان‌دهنده مؤلفه کاتورهای^۳ حول روند یقینی است. روند یقینی دارای تغییرات معین با عمق است که در صورت خطی بودن، با چگالی مقاومت λ که شب تغییرات چسبندگی خاک با عمق است شناخته می‌شود و مؤلفه پسمند بیانگر نوسان مقداربر چسبندگی در هر عمق حول مقدار میانگین چسبندگی خاک در آن نقطه است. شکل (۱) مؤلفه‌های مختلف تغییرپذیری خاک را نشان می‌دهد. بحث تکمیلی در ارتباط با مؤلفه‌های مختلف ناهمگونی ذاتی اعم از یقینی و کاتورهای توسط جمشیدی و کریمیان [۶] ارائه شده است.

۳- ناهمسانی خاک

معیار تسلیم موهر- کلمب مقاومت خاک را به وسیله دو کمیت چسبندگی (C) و زاویه اصطکاک داخلی (ϕ) توصیف می‌کند. محققین زیادی مانند دانکن [۷] و ماین [۸] به این نتیجه رسیدند که زاویه اصطکاک داخلی خاک ناهمسانی کمی از خود

سالنکن [۳] و سالنکن و همکاران [۴] تحلیلی برای محاسبه ظرفیت باربری پی‌های سطحی روی خاک‌های C-۴-۷ با فرض تغییرات خطی چسبندگی با عمق ارائه دادند. میرهوف [۵] ظرفیت باربری پی‌های سطحی را برای خاک‌های دارای زاویه اصطکاک داخلی ناهمسان به وسیله روش سنتی ترازاقی به دست آورد. وی در فرضیات خود از دو مقدار حدی برای زاویه اصطکاک داخلی در نواحی بیرونی و یک مقدار معادل برای زاویه اصطکاک داخلی در ناحیه شعاعی برشی استفاده کرد.

هدف از این مطالعه نشان دادن تأثیر ناهمسانی چسبندگی خاک، ناهمگونی فضایی چسبندگی و زاویه اصطکاک داخلی خاک و همچنین همبستگی متقابل^۱ بین چسبندگی و زاویه اصطکاک داخلی خاک برروی ظرفیت باربری پی‌های سطحی در حالت زهکشی شده است. بهمین منظور چسبندگی خاک به عنوان یک متغیر با توزیع لگاریتم- نرمال و زاویه اصطکاک داخلی خاک به عنوان یک متغیر با توزیع کراندار در فضای مدل شده‌اند. انتخاب توزیع لوگ نرمال به این دلیل است که چسبندگی خاک کمیتی مثبت است و همچنین رابطه آن با توزیع نرمال بسیار ساده است [۶]. نسبت ناهمسانی چسبندگی خاک که با C_H/C_V مشخص می‌شود با تعمیم مدل همسان موهر- کلمب به حالت ناهمسان در محاسبات لحاظ شده و همچنین برای انجام تحلیل‌ها از برنامه‌نویسی FISH در محیط نرم‌افزار FLAC^{۴D} به روش تفاضل محدود تصادفی استفاده شد.

$$\begin{aligned}\Delta\sigma_1 &= \alpha_1\Delta e_1 + \alpha_3\Delta e_2 + \alpha_4\Delta e_3 \\ \Delta\sigma_2 &= \alpha_5\Delta e_1 + \alpha_6\Delta e_2 + \alpha_5\Delta e_3 \\ \Delta\sigma_3 &= \alpha_4\Delta e_1 + \alpha_7\Delta e_2 + \alpha_7\Delta e_3\end{aligned}\quad (5)$$

که ضرایب α از روابط زیر به دست می‌آیند:

$$\begin{aligned}\alpha_1 &= \frac{1}{1 - 2v_{HV}v_{HV} - 2v_{HV}v_{VH}v_{HH} - v_{HH}v_{HH}} \\ \alpha_2 &= \alpha_1(1 - v_{VH}v_{HV})E_H \\ \alpha_3 &= \alpha_1(v_{VH} + v_{HH})E_H \\ \alpha_4 &= \alpha_1(v_{HH} + v_{VH}v_{HV})E_H \\ \alpha_5 &= \alpha_1(1 - v_{HH}v_{HH})E_V\end{aligned}\quad (6)$$

E_V : مدول یانگ در جهت تهنی (صفحه قائم)

E_H : مدول یانگ در صفحه تهنی (صفحه افق)

v_{VH} : ضریب پواسون متناظر با کرنش در صفحه افق در نتیجه تنش اعمالی در صفحه قائم

v_{HV} : ضریب پواسون متناظر با کرنش در صفحه قائم در نتیجه تنش اعمالی در صفحه افق

v_{HH} : ضریب پواسون متناظر با کرنش در صفحه افق در نتیجه تنش اعمالی در همان صفحه

پوش تسلیم برای معیار اصلاح شده موهر- کلمب در صفحه (۵۱,۵۲) در شکل (۲) نشان داده شده است.

پوش گسیختگی موهر- کلمب اصلاح شده از نقطه A تا B به موسیله تابع تسلیم زیر تعریف می‌شود:

$$f^s = \sigma_1 - \sigma_2 N_\phi + 2C_0 \sqrt{N_\phi} \quad (7)$$

که داریم:

$$N_\phi = \frac{1 - \sin \phi}{1 + \sin \phi} \quad (8)$$

به موسیله تابع تسلیم کششی به شکل: C تا B و از نقطه:

$$f^t = \sigma^t - \sigma_2 \quad (9)$$

که ϕ زاویه اصطکاک داخلی، σ^t مقاومت کششی و C_0 چسبندگی در جهتی که با افق زاویه θ می‌سازد است و از رابطه

زیر به دست می‌آید:

$$C_0 = C_H + (C_V - C_H) \sin^t (45 + \frac{\phi}{2} + \theta) \quad (10)$$

که θ از رابطه زیر به دست می‌آید:

نشان می‌دهد و در رس‌ها کاملاً مستقل از جهت بارگذاری است. از طرف دیگر مقاومت برشی زهکشی نشده و چسبندگی به جهت بارگذاری و نوع آزمایش انجام شده برای تعیین پارامترهای مقاومت برشی کاملاً وابسته هستند. بنابراین در تحقیق حاضر اثر ناهمسانی فقط برای چسبندگی لحاظ شده و فرض می‌شود که زاویه اصطکاک داخلی مقدار ثابتی در تمام جهات و نقاط محیط خاک داشته باشد. از سال ۱۹۴۰ تلاش‌های زیادی برای اندازه‌گیری ناهمسانی چسبندگی خاک انجام شد. کاساگراند و کاریلو [۹] پیشنهاد کردند که چسبندگی در هر جهت در صفحه افق- قائم می‌تواند به شکل زیر بیان شود:

$$C_i = C_H + (C_V - C_H) \sin^i \quad (2)$$

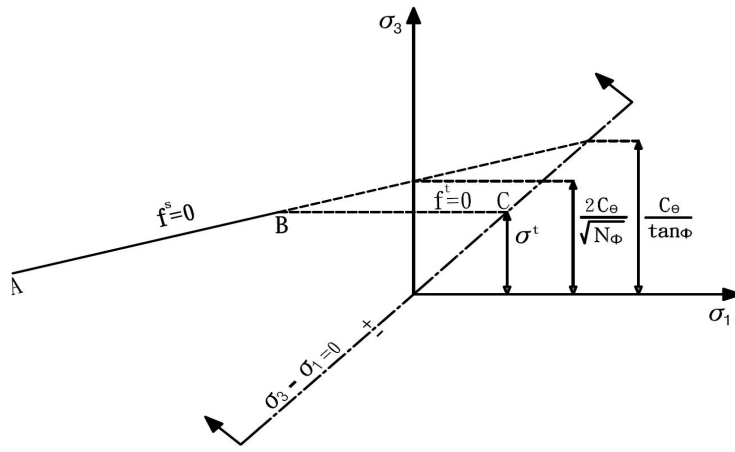
در این رابطه C_H و C_V به ترتیب چسبندگی در صفحات افقی و قائم هستند و C_i نشانگر چسبندگی در جهت i است که i میزان انجنا جهت اصلی حداقل نسبت به صفحه افق را نشان می‌دهد. نسبت C_H/C_V که نسبت ناهمسانی مکانیکی، $A.F_M$ نامیده می‌شود بنا به فرض لو [۱۰] برای یک خاک مشخص ثابت در نظر گرفته می‌شود. پوش گسیختگی متناظر با معیار تسلیم اصلاح شده موهر- کلمب از دوتابع تسلیم تشکیل شده است که مشتمل بر قانون جریان برشی همراه^۴ و قانون جریان کششی ناهمراه^۵ است. در فرمولاسیون تفاصل محدود در این مدل تنش‌های اصلی σ_1 ، σ_2 و σ_3 به کار برده می‌شوند. با فرض شرایط هندسی کرنش صفحه، تنش خارج از صفحه σ_{zz} ، به عنوان یکی از تنش‌های اصلی در نظر گرفته می‌شود. تنش‌ها و جهات اصلی با استفاده از مؤلفه‌های تانسور تنش محاسبه شده و به صورت زیر مرتب می‌شوند:

$$\sigma_1 \leq \sigma_2 \leq \sigma_3 \quad (3)$$

نمودار کرنش‌های اصلی Δe_1 ، Δe_2 و Δe_3 به شکل زیر تجزیه می‌شوند:

$$\Delta e_i = \Delta e_i^e + \Delta e_i^p \quad i = 1, 2, 3 \quad (4)$$

که بالا نویس e و p به ترتیب اشاره به بخش الاستیک و پلاستیک دارد. قانون هوک در حالت تنش‌های اصلی برابر است با:



شکل ۲- پوش گسیختگی متناظر با معیار تسلیم اصلاح شده موهر- کلمب

روش چولسکی تجزیه شده و با ضرب ماتریس پایین مثلثی حاصل در هریک از بردارهای غیرخود همبسته تولید شده تبدیل به حوزه‌های تصادفی خود همبسته می‌شوند:

$$\rho_{AC}(x, y) = \exp \left\{ -2 \sqrt{\left(\frac{\Delta x}{\theta_H} \right)^2 + \left(\frac{\Delta y}{\theta_V} \right)^2} \right\} \quad (12)$$

در این رابطه θ_H و θ_V به ترتیب مقیاس نوسان در جهات افق و قائم و Δx و Δy به ترتیب فاصله در راستای افقی و عمودی هستند. مقیاس نوسان پارامتری است که میزان خود همبستگی بین پارامترهای خاک را بیان می‌کند، به طوری که به ازای مقادیر زیاد مقیاس نوسان حوزه زبر و دارای گرادیان بالا می‌شود [۱۱]. مقادیر کم آن حوزه زبر و دارای گرادیان بالا می‌شود [۱۲]. مطالعات موجود نشان می‌دهد که در نتیجه فرایند تهشیین خاک‌ها میزان خود همبستگی بین پارامترها در جهت افق بسیار بیشتر از راستای قائم است. مقدار θ_V به طور کلی بین $2^{\circ}/5$ و 2° متر است در حالی که θ_H مقادیری بین 10° تا 30° متر دارد [۱۲]. نسبت مقیاس نوسان درجهت افق به قائم که در این مطالعه با $A.F_H$ نشان داده می‌شود، درجه ناهمسانی ناهمگونی نامیده می‌شود و برای خاک رس مقادیری چون 9 [۱۳]، 10 [۱۴] و 13 [۱۵] برای آن گزارش شده است.

به منظور اعمال همبستگی متقابل بین پارامترهای مقاومت برشی (c و ϕ) از تجزیه چولسکی ماتریس همبستگی متقابل و

$$\theta = 0.5 \tan^{-1} \left(\frac{2\tau_{xy}}{\sigma_y - \sigma_x} \right) \quad (11)$$

۴- تولید میدان تصادفی همبسته در شرایط زهکشی شده
به منظور واقعی سازی پارامترهای مقاومت برشی خاک از تئوری حوزه تصادفی استفاده می‌شود. براساس این تئوری مقادیر پارامتر مورد نظر در هر نقطه (مرکز نواحی در شبکه‌بندی تفاضلات محدود) به صورت همبسته با سایر نقاط مجاور تحت عنوان خود همبستگی تولید شده و سپس همبستگی بین پارامترهای مختلف تحت عنوان همبستگی متقابل بررسی می‌شود. روش کار به این صورت است که ابتدا بردارهای چسبندگی و زاویه اصطکاک داخلی خاک به صورت بردارهای گوسی استاندارد غیر خود همبسته ($E_{c,\phi}$) تولید می‌شود. ساختار همبستگی یکی از خصوصیات مهم میدان تصادفی است. واضح است وقتی مقادیر یک پارامتر در نقاط مجاور شبیه هم باشند در مقایسه با حالتی که غیرمرتب هستند با یکدیگر همبسته‌تر هستند. در این مطالعه از تابع همبستگی نمایی مارکوین ناهمسان برای درنظر گرفتن همبستگی بین پارامترهای مقاومت برشی استفاده شده است.

به منظور اعمال خود همبستگی به هر یک پارامترهای مقاومتی، ماتریس خود همبستگی ρ_{AC} مربوط به هر پارامتر به

۵- محاسبه ظرفیت باربری پی

طراحی یک پی دو حالت حدی را در بر می‌گیرد؛ ۱) حالت حدی خدمت‌پذیری، که معمولاً به شکل نشست نامتقارن یا نشست بیشینه مجاز تفسیر می‌شود، ۲) حالت حدی نهایی، که با بیشینه بار قابل اعمال بر پی قبل از وقوع گسیختگی از نوع ظرفیت باربری مرتبط است. در این مطالعه برای تعیین ظرفیت باربری از تفسیر دوم استفاده شده و تأثیر ناهمسانی و ناهمگونی چسبندگی بروی ظرفیت باربری پی‌های سطحی به‌روش عددی تفاضل محدود و با کمک نرم‌افزار FLAC[®] مورد بررسی قرار گرفته است. شالوده نواری با اعمال سرعت ثابت رو به پایین به صورت قائم داخل خاک زیر خود فرو می‌رود. مقدار نمو سرعت $2 \times 10^{-5} \text{ m/step}$ درنظر گرفته شده است که با میزان کل جایه‌جایی مورد نیاز برای گسیختگی خاک زیر پی تقسیم بر تعداد مراحل مورد نیاز برابر است. مسئله مورد بررسی یک پی نواری به عرض 50% با کف زیر متر در حالت کرش مسطح که روی یک خاک چسبنده و اصطکاکی واقع شده است، است. مطابق شکل (۳) لایه خاک مورد نظر دارای 300 متر عرض و یک متر عمق است که شامل 341 گره و 300 المان مربعی به عرض 10 سانتی‌متر است.

۶- ظرفیت باربری در حالت یقینی

در حالت یقینی تغییرات چسبندگی خاک مطابق رابطه (۱۶) به صورت خطی فرض شده و مقدار زاویه اصطکاک نیز در تمام محیط ثابت فرض شده است. $C_V = C_{V_0} + \lambda z$ مقدار چسبندگی قائم در سطح زمین ($z=0$) و λ نرخ تغییرات چسبندگی قائم با عمق است [۳]:

$$C_V = C_{V_0} + \lambda z \quad (17)$$

مقادیر بدون بعد ظرفیت باربری به صورت $q' = q / C_V$ تعریف شده و به‌کمک برنامه‌نویسی FISH در محیط برنامه FLAC محاسبه شده است. مقادیر پارامترهای ورودی مطابق جدول (۱) است و در این جدول B و ϕ به ترتیب عرض پی و وزن واحد حجم خاک هستند. در محاسبات صورت گرفته

ضرب آن در بردار خود همبسته مطابق روابط (۱۲) و (۱۳) بهره گرفته شد:

$$\rho_{CC} = \begin{bmatrix} 1 & \rho_{\phi\phi} \\ \rho_{\phi\phi} & 1 \end{bmatrix} \quad (13)$$

در این ماتریس $\rho_{\phi\phi}$ ضریب همبستگی متقابل بین پارامترهای ϕ است.

$$G' = L_{CC} G \quad (14)$$

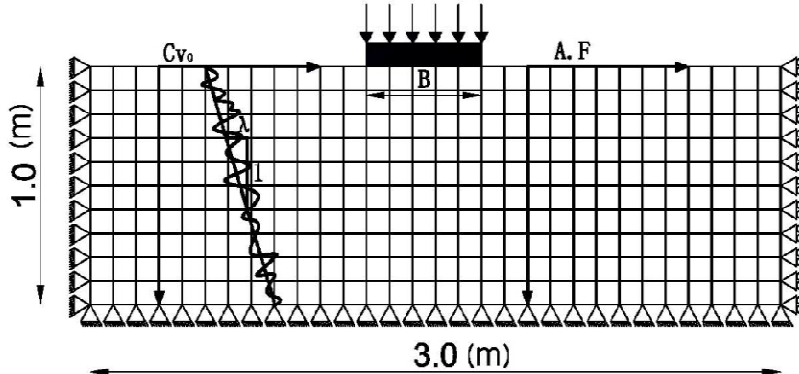
که در آن G بردار تصادفی خود همبسته و L_{CC} ماتریس پایین مثلثی حاصل از تجزیه چولسکی ماتریس همبستگی متقابل و G' بردار حوزه تصادفی همبسته متقابل است. در نتیجه حوزه تصادفی برای پارامتر چسبندگی با میانگین و انحراف معیار مشخص و با فرض توزیع لگاریتم نرمال از رابطه زیر به دست می‌آید:

$$c = \exp(\sigma_{\ln c} \cdot G'_c + \mu_{\ln c}) + \lambda_c \cdot Z \quad (15)$$

که در رابطه بالا $\mu_{\ln c}$ میانگین لگاریتم چسبندگی، $\sigma_{\ln c}$ انحراف معیار لگاریتم چسبندگی و نیز λ_c چگالی مقاومت یا نرخ تغییرات چسبندگی با عمق است. در عمل به‌جای استفاده از انحراف معیار از یک ضریب تغییرات بدون بعد (COV) استفاده می‌شود که از تقسیم میانگین بر انحراف معیار به دست می‌آید. از آنجا که زاویه اصطکاک داخلی خاک هر مقداری را نمی‌تواند اختیار کند، فرض می‌شود زاویه اصطکاک داخلی خاک دارای حد بالا و پایین باشد. معمولاً از توزیع بتا^۱ برای متغیرهایی که محدود هستند استفاده می‌شود. شبیه‌سازی میدان تصادفی دارای توزیع بتا از لحاظ عددی مشکل و زمانبر است. با توجه به این مشکلات از یک توزیع کراندار برای ϕ استفاده می‌شود به‌طوری که توزیع بتا را شبیه‌سازی کند و یک رابطه ساده‌ای با میدان تصادفی استاندارد نرمال، G'_ϕ ، مطابق زیر داشته باشد:

$$\phi(x) = \phi_{\min} + \frac{1}{2} (\phi_{\max} - \phi_{\min}) \left\{ 1 + \tanh\left(\frac{s \cdot G'_\phi}{2\pi}\right) \right\} \quad (16)$$

که ϕ_{\min} و ϕ_{\max} به ترتیب زاویه اصطکاک کمینه و بیشینه و s یک ضریبی است که تغییرات زاویه اصطکاک را بین دو حد بالا و پایین تعیین می‌کند.



شکل ۳- المان بندی مورد استفاده در تحلیل ظرفیت باربری شالوده

جدول ۱- مقادیر درنظر گرفته شده برای پارامترهای فرض شده در تحلیل های یقینی

مقادیر درنظر گرفته شده	کمیت ها
۱۰	ϕ°
۲،۰	$G = \gamma B / C_{H0}$
۰/۵، ۱، ۱/۵، ۲	$A.F_M = C_H / C_V$
۰، ۰/۲۵، ۰/۵۰، ۰/۷۵، ۱، ۱/۲۵	$v = \lambda B / C_H$.

جدول ۲- مقادیر درنظر گرفته شده برای پارامترهای فرض شده در حالت کاتورهای

مقادیر درنظر گرفته شده	کمیت ها
۰، ۰/۲۵، ۰/۵۰، ۰/۷۵	$COV_{C_V} = COV_\phi$
۲۵	μ_c (kPa)
۰/۵، ۱، ۱/۵، ۲	$A.F_M = C_H / C_V$
۰/۵، ۱	θ_v (m)
۱، ۵، ۱۰	$A.F_H = \theta_H / \theta_v$
۰، -۱	$\rho_{c\phi}$
۲۵	ϕ_{max}°
۵	ϕ_{min}°

مقاومت برشی زهکشی شده به عنوان پارامترهای ناهمگون کاتورهای درنظر گرفته شدند. مدلول سختی با فرض درنظر گرفتن نسبت ثابت ۳۰° برای E/C به صورت کاملاً همبسته با چسبندگی درنظر گرفته شد. تأثیر پارامترهایی چون COV_{C_V} , $A.F_M$, $A.F_H$, θ_v و $\rho_{c\phi}$ روی ظرفیت باربری پیهای سطحی با اتخاذ مقادیر مطابق جدول (۲) بررسی شد. به ازای هر ترکیبی از مقادیر COV_{C_V} , $A.F_M$, $A.F_H$, θ_v و $\rho_{c\phi}$ شبیه‌سازی مونت کارلو شامل ۵۰۰ واقعی‌سازی از

ضرایب پواسون در صفحات افق و قائم (V_{HH} , V_{VH} و V_{HV}) در تمامی المان‌ها ثابت درنظر گرفته شده‌اند.

۷- ظرفیت باربری کاتورهای

محاسبه ظرفیت باربری شالوده سطحی قرار گرفته برروی یک نهشته طبیعی دارای ناهمگونی کاتورهای در حالت زهکشی شده به وسیله یک برنامه FISH که ترکیبی از روش تفاضل محدود و تئوری حوزه تصادفی است انجام گرفته است. پارامترهای

جدول ۳- مقایسه بین مقادیر N_C در حالت همسان و همگن ($G = 0$ ، $AF_M = 1$ ، $v = 0$)

مقادیر N_C		روش به کار گرفته شده	محققین
$\varphi = 20^\circ$	$\varphi = 10^\circ$		
۱۷/۰۰	۹/۳۰	تعادل حدی	* ترزاچی
۱۴/۵۰	۸/۰۰	روش خطوط مشخصه تنش	* میرهوف
۱۷/۰۰	۹/۳۰	روش مشخصه	ردی و سرینواسان [۲]
۱۴/۸۴	۸/۳۵	روش تحلیل حدی (حد بالا)	سانلکون [۱۶]
۱۴/۸۰	۸/۳۴	روش تحلیل حدی (حد پایین)	[۱۷]
۱۴/۸۳	۸/۳۴	روش تحلیل حدی (حد بالا)	ردی و رائو [۱۸]
۱۴/۹۴	۸/۵۲	روش تفاضل محدود	مطالعه کونی

* ردی و سرینواسان [۲]

آوردن. کار این دو محقق به عنوان بسط و توسعه کار چن [۱۷] محسوب می‌شود و فرضیات به کار گرفته شده در ارتباط با ناهمسانی و ناهمگونی چسبندگی مشابه فرضیات به کار رفته در این مطالعه است. همان‌طور که در شکل (۴) مشخص شده است با افزایش $A.F_M$ و v ظرفیت باربری افزایش یافته است.

به ازای یک $A.F_M$ ثابت، افزایش v در واقع بیانگر افزایش چگالی مقاومت (λ) است. بنابراین می‌توان این‌طور استدلال کرد که با افزایش λ ظرفیت باربری نیز افزایش می‌یابد. همچنین تأثیر λ بر روی ظرفیت باربری با افزایش $A.F_M$ افزایش می‌یابد. مقایسه نتایج مطالعه حاضر با آنچه ردی و رائو [۱۸] ارائه داده‌اند نمایانگر همخوانی بسیار خوب نتایج است.

علاوه بر این در شکل (۵) تأثیر COV_{Cv} به عنوان پارامتر کاتورهای بر روی ظرفیت باربری کاتورهای پی سطحی نشان داده شده است. در شکل (۵-الف) چسبندگی در جهت قائم (Cv) و زاویه اصطکاک داخلی خاک (φ) کاملاً مستقل از هم لحظ شده‌اند ($= ۰$)، در حالی که در شکل (۵-ب) این دو پارامتر به صورت کاملاً همبسته منفی در نظر گرفته شدند ($= -۱$).

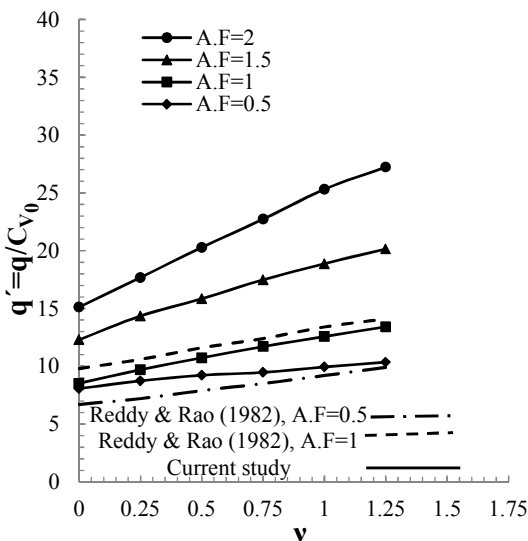
مطابق شکل (۵) افزایش ضریب تغییرات چسبندگی قائم، COV_{Cv} موجب کاهش میانگین ظرفیت باربری پی‌های سطحی می‌شود. در واقع افزایش ضریب تغییرات چسبندگی قائم موجب افزایش احتمال شکل‌گیری نواحی با مقدار چسبندگی ضعیفتر در لایه‌های زیرین پی می‌شود و در نتیجه با کوتاه‌تر شدن طول مسیر گسیختگی میانگین ظرفیت

پارامترهای مقاومت بر شیوه انجام شد و سپس ظرفیت باربری متناظر با هر یک از شبیه‌سازی‌ها محاسبه و در نهایت میانگین آنها (μq_{ult}) و ضریب تغییرات ظرفیت باربری ($COV_{q_{ult}}$)، به دست آورده شد.

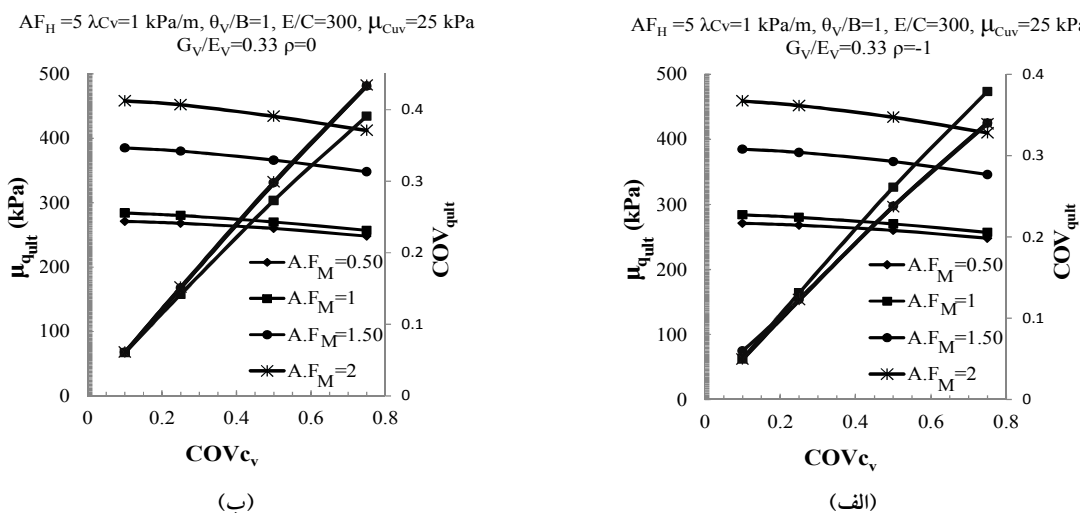
۸- تحلیل نتایج

در حالت یقینی برای سنجش میزان اعتبار نتایج، بین نتایج به دست آمده از تحلیلهای عددی حاضر و نتایج دیگران مقایسه صورت گرفته است. جهت صحتسنجی نتایج حاصل از تحلیلهای عددی، ظرفیت باربری در حالت کاملاً همسان و همگن ($G = 0$ ، $AF_M = 1$ ، $v = 0$) محاسبه شده و با نتایج حاصله از چندین روش و روابط ظرفیت باربری رایج مقایسه شد. به همین منظور و به جهت سادگی محاسبات خاک بدون وزن در نظر گرفته شده ($G = 0$) و تحت این فرض رابطه ظرفیت باربری به صورت $q = C_{V,N_C} N_C$ می‌شود و مقادیر N_C برای خاک مورد نظر به دست می‌آید.

جدول (۳) مقایسه‌ای بین مقادیر به دست آمده N_C از روش عددی تفاضل محدود استفاده شده در این مقاله با مقادیر N_C به دست آمده توسط دیگر محققین، که از روش‌های گوناگون نظری تعادل حدی یا تحلیل حدی استفاده کرده‌اند، را نشان می‌دهد. ردی و رائو [۱۸] با به کار گیری مکانیزم گسیختگی پرانتل و با استفاده از تحلیل حدی (حد بالا)، ظرفیت باربری پی‌های سطحی را بر روی خاک‌های ناهمگون و ناهمسان به دست



شکل ۴- تغییرات 'q' به ازای مقادیر A.F_M در زاویه اصطکاک ۱۰ درجه

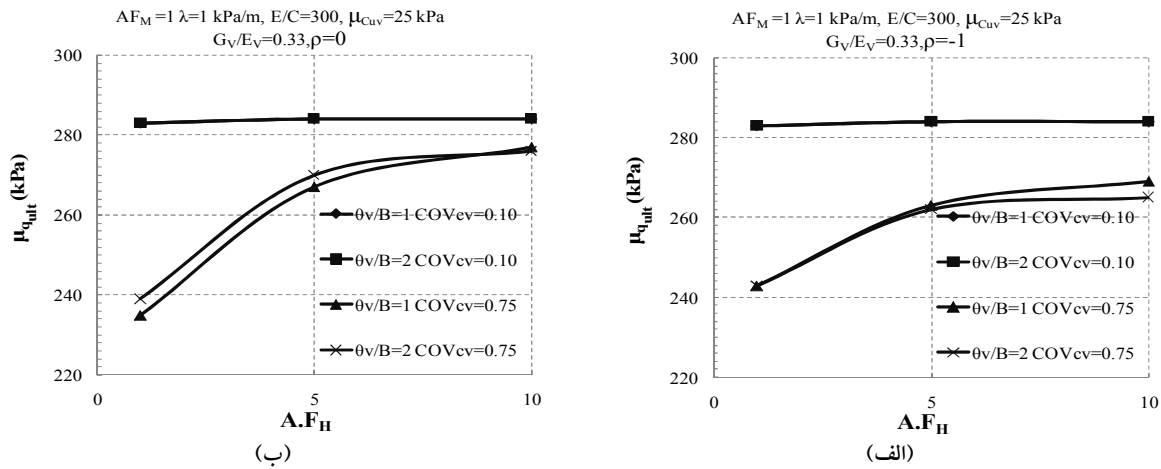


شکل ۵- تأثیر ضریب تغییرات چسبندگی بر روی میانگین ظرفیت باربری پیهای سطحی: (الف) $\rho_{\phi} = -1$ و (ب) $\rho_{\phi} = 0$

بر روی ظرفیت باربری پیهای سطحی است. فنتون و گریفیس [۱۹] با مطالعه بر روی ظرفیت باربری پیهای سطحی مسقرا بر محیط خاکی ناهمگون سعی بر تشریح اثر طول همبستگی یا مقیاس نوسان بر ظرفیت باربری کردند. در شرایطی که فضای مسئله همگن باشد مسیر گسیختگی از یک لگاریتم- اسپیرال^۷ تعیت خواهد کرد. با زیاد شدن فاصله همبستگی و نزدیک شدن آن به بُنهایت فیزیکی شرایطی اتفاق می‌افتد که در هر

باربری کاهش می‌یابد. علاوه بر این افزایش ضریب تغییرات چسبندگی قائم موجب افزایش پراکندگی مقادیر ظرفیت باربری محاسبه شده و در نتیجه افزایش ضریب تغییرات آن در شبیه‌سازی‌های صورت گرفته می‌شود که این مسئله در شکل (۵) در دو حالت $\rho = 0$ و $\rho = -1$ کاملاً مشهود است.

شکل (۶) نشانگر تأثیر نسبت ناهمسانی ناهمگونی (A.F_H) در دو حالت غیرهمبسته ($\rho = 0$) و کاملاً همبسته منفی ($\rho = -1$)



شکل ۶- تأثیر ناهمسانی ناهمگونی بر روی میانگین ظرفیت باربری پی‌های سطحی در دو حالت: (الف) $p_{cq}=-1$ و (ب) $p_{cq}=0$

موهر- کلمب استاندارد به حالت ناهمسان تبدیل شد و نتایج هم در حالت یقینی و هم در حالت کاتورهای حاکی از نقش چشمگیر ناهمسانی مکانیکی چسبندگی در افزایش ظرفیت باربری پی‌های سطحی دارد. ناهمگونی فضایی پارامترهای مقاومت بشی خاک به کمک تئوری فضایی تصادفی در ترکیب با روش تفاضل محدود و اثر آن بر ظرفیت باربری پی‌های سطحی در چارچوب شبیه‌سازی‌های مونت‌کارلو بررسی و نتایج نشان‌دهنده کاهش قابل توجه میانگین ظرفیت باربری با افزایش تغییرپذیری فضایی پارامترهای مقاومتی است. این بدان معنی است که نادیده گرفتن اثرات ناهمگونی پارامترهای مقاومت بر بشی خاک منجر به طراحی نادرست و غیرمطمئن می‌شود. علاوه بر آن اثر ناهمسانی ناهمگونی، $A.F_H$ بر روی ظرفیت باربری پی‌های سطحی بررسی و نتایج حاکی از اثر افزایشی این نوع ناهمسانی بر ظرفیت باربری کاتورهای پی‌های سطحی است. بزرگ شدن نسبت ناهمسانی ناهمگونی منجر به تبدیل تحلیل‌های کاتورهای به تحلیل‌های یقینی و محاسبه ظرفیت باربری پی‌های سطحی در شرایط همگن که از یک سطح لگاریتم اسپiral تبعیت می‌کند می‌شود.

واقعی‌سازی فضای مسئله همگن بوده و لیکن مقدار واقعی‌سازی از یک شبیه‌سازی به شبیه‌سازی دیگر متفاوت خواهد بود. بنابراین به صورت میانگین جواب مسئله قابل پیش‌بینی است. فتنون و گریفیس [۱۹] اظهار داشتند که میانگین ظرفیت باربری در شرایطی که $\theta_v/B=1$ باشد کمینه است. با این استدلال در تحقیق حاضر شرایط $\theta_v/B=1$ و $A.F_H=1$ قائل‌باشی متناظر با مقدار کمینه برای میانگین ظرفیت باربری باشد. با بالا رفتن نسبت ناهمسانی ناهمگونی، $A.F_H$ ، به سمت بزرگ شدن فاصله همبستگی پیش رفته و باید انتظار داشت که ظرفیت باربری اندکی افزایش یابد. با نگاهی به بخش‌های مختلف شکل (۶) این روند تأیید می‌شود. بنابراین نسبت ناهمسانی ناهمگونی هر چند اندک ولی نقش افزایشی بر روی ظرفیت باربری پی‌های سطحی دارد.

۹- نتیجه‌گیری

در این مطالعه به بررسی اثر ناهمسانی و ناهمگونی فضایی پارامترهای مقاومت بشی خاک بر روی ظرفیت باربری پی‌های سطحی در حالت زهکشی شده پرداخته شد. بدین منظور جهت بررسی اثر ناهمسانی مکانیکی چسبندگی خاک، $A.F_M$ ، مدل

واژه‌نامه

1. cross correlation
2. deterministic
3. stochastic
4. associated shear flow rule
5. non-associated flow rule
6. beta distribution
7. logarithm-spiral

مراجع

1. Reddy, A. S., and Srinivasan, R. J., "Bearing Capacity of Footings on Layered Clays", *Journal of the Soil Mechanics and Foundations Division, ASCE*, Vol. 93(SM2), pp. 83-99, 1967.
2. Reddy, A. S., and Srinivasan, R. J., "Bearing Capacity of Footings on Anisotropic Soils", *Journal of the Soil Mechanics and Foundations Division, ASCE*, Vol. 96(SM6), pp. 1967-1986, 1970.
3. Salencon, J. "Bearing Capacity of a Footing on $\phi=0$ Soil with Linearly Varying Shear Strength", *Geotechnique*, Vol. 24, No. 3, pp. 443-446, 1974a.
4. Salencon, J., Florentin, P., and Gabriel, Y., "Capacité Portante Global d'une Fondation Sur un Sol Nonhomogène", *Geotechnique*, Vol. 26, No. 2, 351-370, 1976.
5. Meyerhof, G. G., "Bearing Capacity of Anisotropic Cohesionless Soils", *Canadian Geotechnical Journal*, Vol. 15, No. 4, pp. 592-595, 1978.
6. جمشیدی چناری، ر. و کریمیان، ا. "واقعی‌سازی مقاومت برشی زهکشی نشده در نهشته‌های طبیعی به‌کمک تئوری میدان تصادفی"، مجله علمی-پژوهشی روش‌های عددی در مهندسی، سال ۳۰، شماره ۲، ص ۴۳-۲۱. ۱۳۹۰.
7. Duncan, J. M., and Seed, H. B., "Anisotropy and Stress Reorientation in Clay", *Journal of the Soil Mechanics and Foundations Division, ASCE*, Vol. 92(SM5), pp. 21-50, 1966.
8. Mayne, P. W., "Stress Anisotropy Effects on Clay Strength", *Journal of the Soil Mechanics and Foundations Division, ASCE*, Vol. 111, pp. 356-66, 1985.
9. Casagrande, A., and Carrillo, N., "Shear Failure on Anisotropic Materials", *Journal of Boston Society of Civil Engineering*, Vol. 31, No. 4, pp. 74-87, 1944.
10. Lo, K. Y., "Stability of Slopes in Anisotropic Soils", *Journal of the Soil Mechanics and Foundations Division, ASCE*, Vol. 31(SM4), pp. 85-106, 1965.
11. Griffiths, D. V., and Fenton, G. A., "Bearing Capacity of Spatially Random Soil, the Undrained Clay Prandtl Problem Revisited", *Geotechnique*, Vol. 51, No. 4, pp. 351-359, 2001.
12. Cherubini, C., "Reliability Evaluation of Shallow Foundation Bearing Capacity on c' , ϕ' Soils", *Canadian Geotechnical Journal*, Vol. 37, No. 1, pp. 264-269, 2000.
13. Vanmarcke, E., "Reliability of Earth Slopes", *Journal of the Geotechnical Engineering Division, ASCE*, Vol. 103, No. 11, pp. 1247-1265, 1971.
14. Soulie, M., Montes, P., and Silvestri, V., "Modeling Spatial Variability of Soil Parameters", *Canadian Geotechnical Journal*, Vol. 27, No. 5, pp. 617-630, 1990.
15. Phoon, K. K., and Kulhawy, F. H., "Characterization of Geotechnical Variability", *Canadian Geotechnical Journal*, Vol. 36, No. 4, pp. 612-624, 1999.
16. Salencon, J., Discussion on the paper "The Effect of Increasing Depth on the Bearing Capacity of Clays by Davis and Booker", *Geotechnique*, Vol. 24, No. 3, pp. 449-451, 1974b.
17. Chen, W. F., *Limit Analysis and Soil Plasticity*, Elsevier Publishing Company, Amsterdam, 1975.
18. Reddy, A. S., and Venkatakrishna Rao, K. N., "Bearing Capacity of Strip Footing on $c-\phi$ Soils Exhibiting Anisotropy and Nonhomogeneity in Cohesion", *Soils and Foundations*, Vol. 22, No. 1, pp. 49-60, 1982.
19. Fenton, G. A., and Griffiths, D. V., "Bearing Capacity Prediction of Spatially Random $c - \phi$ Soils", *Canadian Geotechnical Journal*, Vol. 40, No. 1, pp. 54-65, 2003.